

## РЕКОНСТРУКЦИЯ ДОЗ, ПОЛУЧЕННЫХ НАСЕЛЕНИЕМ ОЗЕРСКА В РЕЗУЛЬТАТЕ ДЕЯТЕЛЬНОСТИ ПО "МАЯК"

1

УДК 621.039.574.3

© 2008

### МЕТОДИКА И РЕЗУЛЬТАТЫ РЕКОНСТРУКЦИИ ВЫБРОСОВ ИНЕРТНЫХ РАДИОАКТИВНЫХ ГАЗОВ ИЗ ТРУБ ГРАФИТОВЫХ РЕАКТОРОВ ПО "МАЯК" ЗА ВЕСЬ ПЕРИОД ИХ ЭКСПЛУАТАЦИИ

*Ю.В. Глаголенко, Е.Г. Дроздюк, Ю.Г. Мокров, Н.П. Пятин, С.И. Ровный*  
*Россия, г. Озерск, ФГУП "ПО "Маяк"*

*Л.Р. Аисло*

*США, Солт Лейк Сити, Университет штата Юта*

*Б.А. Нанье*

*США, г. Ричланд, штат Вашингтон, Северо-Западная Тихонеканская лаборатория*

Приведен краткий анализ конструктивных особенностей и режимов эксплуатации промышленных уран-графитовых реакторов (ПУГР) ПО "Маяк", определяющих мощность выброса в атмосферу инертных радиоактивных газов (ИРГ) активационного ( $^{40}\text{Ar}$ ) и атомогенного происхождения (изотопы криптона и ксенона) через выбросную трубу. Проданализирована информация о методах и результатах экспериментального определения мозаичности выбросов ИРГ в атмосферу за период с 1965 г. до вывода ПУГР из эксплуатации (1987–1990 гг.). Предложена и обоснована расчетная методика реконструкции выбросов ИРГ в атмосферу, и приведены результаты реконструкции. Показано, что максимальная мощность выброса ИРГ из высоких труб ПУГР наблюдалась в 1950-х гг., когда графитовая кладка реакторов продувалась обычным атмосферным воздухом, а аппараты газоочистки (проточные газодоллеры) еще не были установлены.

Производственное объединение "Маяк" (ПО "Маяк") было создано в конце 1940-х гг. по специальному решению Правительства СССР для производства оружейного плутония.

В ранний период деятельности (1948–1960 гг.) ПО "Маяк" производило регламентные (предусмотренные техническим проектом) и аварийные выбросы в атмосферу газообразных радиоактивных отходов. В результате атмосферных выбросов радиоактивному загрязнению подверглись обширные территории в районе расположения предприятия, а жители ближайших населенных пунктов – радиационному воздействию.

Мощные газовоздушные выбросы радионуклидов в атмосферу в первые годы работы предприятия были обусловлены несовершенством существовавших в тот период времени технологий обращения с РАО, отсутствием эффективного газоочистного оборудования и

знания о поведении радиоактивных веществ в объектах окружающей среды.

Результаты предварительных исследований, выполненных специалистами ПО "Маяк" в 1990-х гг., показывают [1, 2], что в первые годы работы предприятия (1948–1960 гг.) основной вклад в дозу облучения населения могли вносить газоэрозольные выбросы йода-131 ( $^{131}\text{I}$ ) радиохимического производства и выбросы инертных радиоактивных газов (ИРГ) реакторного производства.

Основной целью проводимых в настоящее время на ПО "Маяк" исследований по проекту I.4 JCCRER является уточнение радиационных доз облучения жителей г. Озёрска и других ближайших к ПО "Маяк" населенных пунктов, обусловленных газоэрозольными выбросами радионуклидов из труб предприятия.

Следует отметить, что регулярный экспериментальный контроль мощности выброса

## ДОЗИМЕТРИЯ НАСЕЛЕНИЯ ЮЖНОГО УРАЛА

радионуклидов в атмосферу был организован только в середине 1960-х гг. Анализ имеющейся на ПО "Маяк" архивной научно-технической документации показывает, что в период 1948–1958 гг. в различных подразделениях предприятия проводились попытки оценить мощность атмосферных выбросов. Эти измерения имели эпизодический характер, а вопрос о достоверности и представительности полученных результатов требует дополнительного изучения.

В период с 1958 по 1963 гг. на ПО "Маяк" планомерно проводились большой комплекс работ, направленных на сокращение выбросов радионуклидов в атмосферу путем установки (монтажа) различных типов газоочистного оборудования и отработки оптимальных режимов его эксплуатации. В этот же период времени на предприятии проводились исследования, направленные на разработку и совершенствование специализированных штатных инструментальных методов контроля выбросов, создание методик контроля содержания активности в газовых и аэрозольных потоках, монтаж и установку пробоотборных систем непосредственно в полости выбросных труб.

Таким образом, реконструкцию выбросов радиоактивных веществ в атмосферу из труб реакторного и радиохимического производства в период 1948–1963 гг. можно выполнить только на основе расчетных методик с использованием архивной технологической документации о режимах работы основного оборудования и систем газоочистки.

### 1. КРАТКОЕ ОПИСАНИЕ КОНСТРУКЦИИ И РЕЖИМОВ ЭКСПЛУАТАЦИИ УРАН-ГРАФИТОВЫХ РЕАКТОРОВ

На ПО "Маяк" в разное время (табл. 1)

эксплуатировались пять промышленных уран-графитовых реакторов (ПУГР).

Компоновочные схемы всех пяти ПУГР ПО "Маяк" были одинаковы (рис. 1) и отличались только размерами и незначительными конструкционными особенностями [3].

Рассмотрим конструкцию ПУГР на примере реактора "А". Графитовая кладка реактора (8) представляет собой вертикальный цилиндр, собранный из прямоугольных графитовых кирпичей в виде колонн. В центральных колоннах графитовых кирпичей имеются сквозные вертикальные отверстия, в которых устанавливаются алюминиевые трубы (технологические каналы) для размещения в них урановых блоков. Урановый блок представляет собой цилиндр из металлического урана естественного обогащения, помещенный в алюминиевую оболочку. По зазору между внутренней стенкой технологического канала и оболочкой уранового блока подавалась охлаждающая вода. Вода из оз. Кызылташ (водоем В-2) подавалась по трубопроводу (2) через групповую коллектор (1) различными волнами по каналам. Периферийные колонны графитовой кладки изготовлены из сплошных кирпичей (без отверстий под каналы) и служили боковым отражателем нейтронов.

Графитовая кладка размещается на горизонтальной опорной конструкции (11). Боковая биологическая защита реактора выполнена из баков с водой (6), слоя песка (9) и бетона (10). Верхняя биологическая защита реактора (3) представляет собой стальную конструкцию в виде барабана, пропицанного решеткой трубы для установки технологических каналов. Внутренняя часть конструкции заполнена смесью песка, чугунной дроби и засыпка цементным раствором.

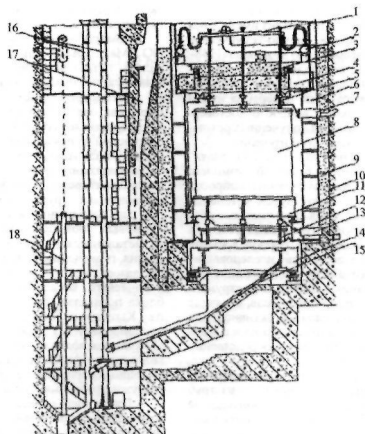
Технологические алюминиевые трубы ус-

Сроки эксплуатации ПУГР ПО "Маяк"

Таблица 1

Реактор	Начало эксплуатации	Конец эксплуатации	Примечания
А	Июнь 1948 г.	Июнь 1987 г.	–
АВ-1	Июль 1950 г.	Август 1989 г.	Реакторы АВ-1, АВ-2 и АВ-3 выполнены по одному проекту
АВ-2	Апрель 1951 г.	Июль 1990 г.	
АВ-3	Сентябрь 1952 г.	Ноябрь 1990 г.	
АИ	Декабрь 1951 г.	Май 1987 г.	–

## ДОЗИМЕТРИЯ НАСЕЛЕНИЯ ЮЖНОГО УРАЛА



1 – групповой коллектор подачи воды; 2 – трубопровод подачи воды в реактор; 3 – верхняя биологическая защита; 4 – верхняя опорная конструкция; 5 – переходные детали ячейки реактора; 6 – баки водяной защиты; 7 – барабаны трубок подачи азота; 8 – графитовая кладка реактора; 9 – монтажное пространство, засыпанное песком; 10 – боковая бетонная биологическая защита; 11 – промежуточная опорная конструкция; 12 – сливной бак; 13 – барабан трубок контроля влажности газа, продуваемого через реактор; 14 – нижняя опорная конструкция; 15 – разгрузочный бункер; 16 – разгрузочные шахты; 17 – сухая шахта; 18 – аварийный ковш.

Рис. 1. Компоновочная схема реактора "А"

танавливались сверху в ячейки реактора (5). В верхней части каждой технологической трубы располагалось специальное устройство для загрузки урановых блоков и подачи охлаждющей воды (через групповой коллектор (1)). Нижняя часть каждой технологической трубы опиралась на специальное запорное устройство, предназначенное для удержания урановых блоков на заданных отметках, соответствующих положе-

нию активной зоны реактора, и для разгрузки урановых блоков. После прохождения охлажддающей воды через активную зону реактора горячая вода поступала в сливной бак (12) и затем по подземному тоннелю (метро) сбрасывалась обратно в оз. Кызылтаз. По длине подземного тоннеля располагались вертикальные колодцы (кюники). Кюники предназначались для доступа персонала в метро (во время ремонтных работ)

## ДОЗИМЕТРИЯ НАСЕЛЕНИЯ ЮЖНОГО УРАЛА

и для выхода в атмосферу газов, выделяющихся из горячей воды при ее движении по тоннелю. Облученные в активной зоне реактора урановые блоки разгружались в бункер (15) и затем в разгрузочную шахту (16). В шахте устанавливалась специальная металлическая бочка (кюбель). Разгруженные урановые блоки поступали в кюбель, который служил для транспортировки блоков в бассейн выдержки.

Внутреннее пространство каждой технологической ячейки (между технологической алюминиевой трубой и деталями тракта ячейки (5)) продувались газом (воздухом или азотом), который поступал по специальному трубам (7) в верхней части кладки и отсасывался в нижней части (13).

Продуваемый через графитовую кладку газ анализировался на содержание влаги с целью контроля целостности технологических каналов.

### 2. УРАН-ГРАФИТОВЫЕ РЕАКТОРЫ КАК ИСТОЧНИК ВЫБРОСОВ ИРГ В АТМОСФЕРУ

Каждый ПУГР был оборудован несколькими вентиляционными системами:

- продувка графитовой кладки;
- вентиляция подреакторного пространства;
- вентиляция вспомогательных помещений (центральный зал, бассейн выдержки и др.).

Все указанные вентиляционные службы (после соответствующей очистки) объединялись и поступали в одну выбросную трубу.

На рис. 2, для примера, приведена упрощенная схема очистки ИРГ в вентиляционных сдувках реактора "AB-3".

#### 2.1. Вентиляционная система продувки графитовой кладки

Основным источником поступления радионуклидов в атмосферу из ПУГР являлась вентиляционная система продувки кладки реактора.

Режим газовой продувки на всех ПУГР ПО "Маяк" неоднократно изменялся.

Первые годы эксплуатации ПУГР их графитовые кладки продувались обычным атмосферным воздухом. Продувка кладки реакторов "A", "AB-3" и "AI" азотом была организована в конце 1954 года, а реакторов "AB-1" и "AB-2" – в октябре 1956 г.

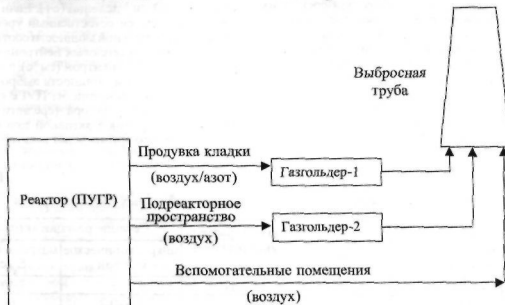


Рис. 2. Упрощенная схема очистки ИРГ в вентиляционных сдувках реактора "AB-3" (после 1964 г.)

Для получения чистого (жидкого) азота на ПО "Маяк" было построено несколько азотных станций. В первое время (1954–1956 гг.) содержание азота в азотной продувке составляло 99,7–99,9 %, но в отдельные периоды снижалось до 99 % и даже до 97 %.

К концу 1956 г. все ПУГР ПО "Маяк" были переведены на азотную продувку, и на них был организован непрерывный контроль качества продуваемого через кладку азота (содержание аргона).

### 2.1.1. ИРГ активационного происхождения

При работе ПУГР в атмосферу непрерывно поступали инертные радиоактивные газы (ИРГ) активационного (главным образом  $^{41}\text{Ar}$ ) и осколочного (изотоны криптона и ксенона) происхождения.

Радиоактивные изотопы аргона образуются (табл. 2) в ядерном реакторе при активации тепловыми нейтронами стабильных изотопов аргона, присутствующих в газовой изотопике (атмосферном воздухе и/или азоте). Периоды полураспада ( $T_{1/2}$ ) продуктов активации изотопов других элементов, содержащихся в атмосферном воздухе (O, N, С и др.), составляют несколько секунд, и, поэтому, выбросы этих радионуклидов не представляют реальной радиационной опасности для населения.

Макроскопическое сечение реакции активации, представленное в табл. 2, рассчитывается по формуле:

$$\Sigma_a = \frac{N_a \sigma_a P}{100 P}, \quad (1)$$

где  $N_a$  – число Авогадро;

$\sigma_a$  – микроскопическое сечение, см<sup>-2</sup>;  
 $P$  – содержание изотопа в естественной смеси, %;

$P$  – атомный вес.

Активность активируемого изотопа –  $A$  за время нахождения его в активной зоне реактора  $t$  можно оценить по формуле:

$$A = \bar{\varphi} \cdot \Sigma_a M (1 - e^{-\lambda t}), \quad (2)$$

где  $\bar{\varphi}$  – средняя плотность потока тепловых нейтронов в реакторе, см<sup>2</sup>·с<sup>-1</sup>;

$M$  – масса активируемого изотопа, находящегося в реакторе за время  $t$ , г;

$\lambda$  – постоянная распада, с<sup>-1</sup>.

Анализ данных, приведенных в табл. 2, показывает, что активность  $^{41}\text{Ar}$  значительно (более чем в  $10^3$  раз) превышает активность других радиоактивных изотопов аргона. Поэтому выбросы  $^{37}\text{Ar}$ ,  $^{39}\text{Ar}$  и других продуктов активации в дальнейших расчетах не учитывались.

Если  $t \ll T_{1/2}$ , то мощность выброса активности из реактора  $w$  можно представить в виде:

$$w = \frac{A}{t} = \lambda \bar{\varphi} \Sigma_a M. \quad (3)$$

Известно, что удельной мощности реактора  $E_0 = 1 \text{ Btu/t}$  соответствует скорость деления ядер урана  $N_d = 3,1 \cdot 10^{10}$  делений/(с·т). Если ядерным топливом является естественный уран, то вышеуказанной удельной мощности соответствует равная  $\bar{\varphi}_0 = 3,5 \cdot 10^{12}$  нейтрон/(см<sup>2</sup>·с).

Таким образом, мощность выброса радиоактивных изотопов аргона из ПУГР определяется мощностью реактора (средним потоком тепловых нейтронов в активной зоне) и расходом стабильного аргона через реактор.

Таблица 2

Характеристики ядерных реакций активации стабильных изотопов аргона

Стабильный изотоп (содержание в естественной смеси) $P$ , %	Реакция активации	Период полураспада продукта реакции, $T_{1/2}$	Сечение реакции активации	
			микроскопическое $\sigma_a$ , барн	макроскопическое $\Sigma_a$ , см <sup>2</sup> /г
$^{36}\text{Ar}$ (0,337)	$^{36}\text{Ar}(n, \gamma)^{37}\text{Ar}$	34,3 дня	$6 \pm 2$	$3,40 \cdot 10^{-4}$
$^{39}\text{Ar}$ (0,063)	$^{39}\text{Ar}(n, \gamma)^{39}\text{Ar}$	269 лет	$0,8 \pm 0,2$	$7,69 \cdot 10^{-6}$
$^{40}\text{Ar}$ (99,60)	$^{40}\text{Ar}(n, \gamma)^{41}\text{Ar}$	1,827 час	$0,53 \pm 0,02$	$7,94 \cdot 10^{-3}$

### 2.1.2. ИРГ осколочного происхождения

Первая аварийная ситуация на реакторе "А" произошла в первые дни работы реактора на проектной мощности (22 июня 1948 г.) [4]. Из-за ошибки персонала в одной из ячеек реактора был установлен недопустимо малый расход охлаждающей воды. Недостаточное охлаждение урановых блоков в ячейке привело к перегреву блоков, последующему их распуханию, полному прекращению охлаждения (поступления воды в канал), и, в конечном итоге, к расплавлению алюминиевой оболочки и спеканию уранового сердечника с графитовым блоком. В результате реактор "А" был остановлен, и до 30 июня проводилась расчистка ячейки от спекшегося урана и графита на остановленном реакторе [4].

Расчистка ячейки проводилась путем ее рассверловки с использованием специального бурового оборудования. Работы по расчистке ячейки продолжались и после выхода реактора на мощность и были полностью закончены только 18 июля 1948 г. Однако из-за вкрапления частиц урана в графит полноценно эксплуатация этой ячейки стала невозможной. Из-за повышенного энерговыделения в аварийной ячейке происходило интенсивное окисление графита, а в атмосферу (и частично в центральный зал реактора) поступало значительное количество радиоактивных аэрозолей, ИРГ – продуктом деления и радиоизотопов йода (<sup>131</sup>I, <sup>132</sup>I, <sup>133</sup>I, <sup>134</sup>I, <sup>135</sup>I).

Подробности ликвидации этой аварийной ситуации приведены в работах [3, 4].

Подобные аварии повторялись неоднократно и на жargonе реакторщиков получили название "козловые" – по аналогии с терминологией, принятой в металлургической промышленности.

Аварии с образованием "козлов" происходили по следующим причинам:

- коррозионное разрушение алюминиевых технологических труб и оболочек урановых блоков;
- дефекты урановых блоков, связанные с несовершенством технологии их изготовления;
- отказ оборудования подачи воды в технологические каналы и ошибки персонала.

В табл. 3 приведены сведения об основных

аварийных ситуациях на ПУГР ЛО "Маяк", повлекших попадание урана в графитовую кладку [5].

Аварии с образованием "козлов" обычно происходили в центральной (по высоте) части активной зоны реактора (кладки) в районе максимального энерговыделения. Нижние урановые блоки, как правило, уддавалось разгрузить стандартным образом, а верхние блоки извлекались из аварийной ячейки с использованием специальных приспособлений. Оставшиеся ("закозлованные") урановые блоки удалялись методом рассверловки. Частицы урана (в виде стружки и небольших кусочков), попавшие в графитовую кладку при ремонте ячеек ПУГР, являлись мощными источниками образования радиоактивных аэрозолей и ИРГ осколочного происхождения. В результате интенсивного теплового разогрева в потоке тепловых нейтронов реактора и под действием гравитационных сил частицы урана прожигали кладку и опускались вниз, в район нижнего графитового отражателя. Со временем все частицы урана накапливались в нижней части графитовой кладки, где происходило снижение энерговыделения (из-за уменьшения плотности потока тепловых нейтронов) и температуры частиц до таких значений, которые не позволяли им опускаться ниже.

Точное значение массы урана, попавшей в кладку ПУГР при каждой операции по раздлеке "козловых" ячеек неизвестно. Тем не менее, в архивах сохранились экспертные оценки, выполненные на основании радиометрических измерений в кладках ПУГР (при разгруженной активной зоне). В настоящее время в кладках каждого из реакторов суммарная масса частиц урана не превышает нескольких сотен грамм.

### 2.2. Система вентиляции подреакторного пространства

Вентиляция опорных металлоконструкций нижней части ПУГР (в районе разгрузочного бункера – см. рис. 1) осуществлялась атмосферным воздухом по отдельной вентиляционной системе.

Плотность потока тепловых нейтронов в этой части реактора была значительно ( $10^4$ – $10^5$  раз) меньше, чем в активной зоне, а объемный

## ДОЗИМЕТРИЯ НАСЕЛЕНИЯ ЮЖНОГО УРАЛА

Таблица 3

**Информация об аварийных ситуациях на ПУГР ПО “Маяк”,  
повлекших попадание урана в графитовую кладку [5]**

Реактор	Количество ячеек	Дата аварии	Продолжительность работ по ликвидации аварии	Примечание
A	1	22.06.1948	25 суток	(1), (2), (3)
	1	25.07.1948	5,5 месяцев	(2), (3)
	1	15.06.1949	3 месяца	(2), (3)
	2	17.08.1949	3,5 месяца	(2), (3)
	1	16.12.1950	—	(2), (4), (5)
	1	15.02.1964	—	(1), (5), (6)
	1	22.02.1964	17 дней	(1), (4)
AB-1	1	22.08.1960	2,5 месяца	(1), (4)
	8	06.09.1975	25 дней	(1), (4)
AB-2	1	25.03.1960	5 дней	(1), (4)
	1	30.12.1966	3 дня	(1), (4)
AB-3	2	19.10.1955	—	(1), (4), (5)
	1	13.03.1957	—	(1), (4), (5)
	1	10.02.1958	—	(1), (4), (5)
AI	1	25.12.1974	~ 1 месяц	(1), (4)

Примечания: (1) – Работы по расчистке ячеек проводились на остановленном реакторе; (2) – Работы по расчистке ячеек проводились на работающем реакторе; (3) – Ячейка в дальнейшем не эксплуатировалась и была замаскирована графитовой крошкой (порошком); (4) – После ремонта ячейка продолжала эксплуатироваться; (5) – Продолжительность ремонтных работ не установлена; (6) – Ячейку полностью расчистить не удалось – в кладке остались урановые блоки.

расход газа практически такой же, как и в системе вентиляции кладки. Поэтому, образование  $^{41}\text{Ar}$  в вентиляционной подреакторного пространства при активации продуваемой газовой смеси (воздуха) в тысячи раз меньше, чем в системе продувки кладки, и его можно не учитывать.

Основным источником поступления ИРГ в газовую сливку подреакторного пространства являлся процесс выделения газов из воды охлаждающей урановых блоков, которая сбрасывалась из нижней части технологических каналов (ТК).

В верхнюю часть ТК под давлением подавалась холодная вода из оз. Кыштыма после соответствующей водоподготовки. По мере прохождения охлаждающей воды вниз по каналу температура воды увеличивалась, а давление снижалось. В нижней части ТК (на изливе) давление падало до атмосферного, и происходило выделение растворенных в воде газов.

Инертные радиоактивные газы образовывались в воде в результате следующих процессов:

- активация растворенных в воде стабильных газов (воздуха), включая  $^{40}\text{Ar}$ ;
- деление ядер урана, который поступал в активную зону реактора с охлаждающей водой (естественное содержание урана в воде составляло 3–20 мкг/л);
- поступление ИРГ (осколочного происхождения – Kr, Xe) с поверхности урановых блоков (в результате загрязнения поверхности ураном на заводе-изготовителе блоков) и из урановых блоков через дефекты (негерметичность) алюминиевой оболочки.

Таким образом, мощность выброса радиоактивных газов через систему вентиляции подреакторного пространства определялась содержанием растворенного в воде урана и аргона, качеством изготовления (герметичность)

## ДОЗИМЕТРИЯ НАСЕЛЕНИЯ ЮЖНОГО УРАЛА

алюминиевых оболочек урановых блоков, мощностью реактора (плотностью потока тепловых нейтронов в активной зоне).

### **2.3. Вентиляция вспомогательных помещений**

К вспомогательным помещениям относятся рабочие помещения с постоянным или временным пребыванием персонала:

- центральный зал реактора;
- бассейн выдержки облученного урана;
- помещения санитарных пропускников

и др.

Характерной особенностью этой вентиляционной системы является высокий объемный расход газа и низкая объемная активность вентиляционного воздуха. Поступление ИРГ в атмосферу с этими вентиляционными системами было преnебрежимо мало и в дальнейших расчетах не учитывалось.

### **3. СОЗДАНИЕ И ЭКСПЛУАТАЦИЯ ГАЗООЧИСТИЧНОГО ОБОРУДОВАНИЯ**

Для снижения выбросов ИРГ на ПУГР использовали проточные газгольдеры, представлявшие собой подземные железобетонные

сооружения, выполненные в виде лабиринта со множеством промежуточных перегородок. За время прохождения вентиляционного потока через газгольдер (3–12 ч) происходило значительное (до 30 раз) снижение объемной активности ИРГ в газовой струке (за счет процесса естественного радиоактивного распада). В табл. 4 приведены основные сведения о времени создания и режимах эксплуатации газгольдеров на ПУГР ПО "Маяк".

### **4. МЕТОДЫ ЭКСПЕРИМЕНТАЛЬНОГО КОНТРОЛЯ ВЫБРОСОВ ИРГ В АТМОСФЕРУ ИЗ ТРУБ ПУГР**

В настоящем разделе приводится краткое изложение методики проведения контроля выбросов ИРГ в атмосферу [5].

Отбор проб газоазрольной смеси, поступающей в атмосферу, проводился из сбросных труб реакторов на высоте 20–30 м от основания трубы. Пробоотборная трубка прокладывалась внутри полости трубы. Один ее конец направлялся навстречу потоку газа. Другой конец выводился в помещение у основания трубы, где производился непрерывный отбор и анализ газового потока. Пробоотборная трубка имела диаметр 12 мм, а общая длина составляла

Таблица 4

**Характеристика проточных газгольдеров, использовавшихся на ПУГР ПО "Маяк" для очистки ИРГ [5]**

Реактор	Вентсистема	Объем газгольдера, тыс. м <sup>3</sup>	Год пуска в эксплуатацию	Примечание
AB-3	Продувка кладки	12,0	1963	—
	Продувка подреакторного пространства	4,0	1963	—
A	Продувка кладки и подреакторного пространства	12,0	1983	—
AI	Продувка кладки и подреакторного пространства	12,0	1983	—
AB-1, AB-2	Продувка кладки	12,0	1966	Один газгольдер на два реактора
	Продувка подреакторного пространства	—	—	Выбросы без очистки

## ДОЗИМЕТРИЯ НАСЕЛЕНИЯ ЮЖНОГО УРАЛА

~120 м. Расход газа через пробоотборную систему задавался ~20 л/мин. Таким образом, время "транспортировки" газа от выбросной трубы до ионизационной камеры составляло 0,5–1,0 мин.

На рис. 3 приведена упрощенная принципиальная схема системы отбора и анализа содержания ИРГ в газовоздушной смеси из выбросной трубы ПУГР.

Газовоздушная смесь из выбросной трубы (1) ПУГР забиралась через пробоотборную трубку (2). Расход газа в пробоотборной трубке регулировался с помощью вентиля (3), ротаметра (4) и побудителя расхода (5). Газовоздушная смесь поступала сначала на аналитический аз-

розольный фильтр (6), который периодически заменялся на новый и служил для определения объемной активности аэрозолей путем проведения в лабораторных условиях радиометрических и спектрометрических измерений. Очищенный от аэрозолей газ поступал на проточную ионизационную камеру (7). Показания ионизационной камеры (ионизационный ток) регистрировались дозиметрическим прибором (8) и записывались на самописец (9). Конструкция пробоотборной системы предусматривала возможность подключения с использованием отсечных вентилей (10) переносной кюветы (емкости) для отбора пробы газа (11). Периодически (3–4 раза в

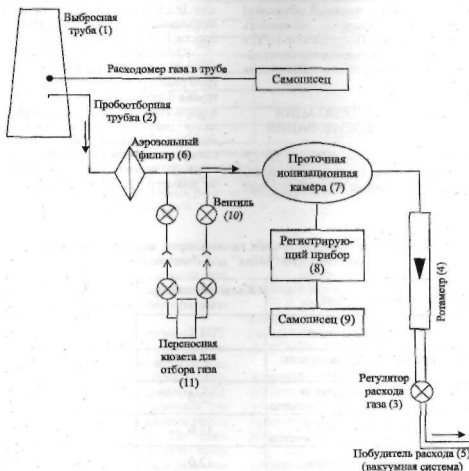


Рис. 3. Упрощенная принципиальная схема отбора из выбросной трубы ПУГР и анализа проб газовоздушной смеси на содержание ИРГ

## ДОЗИМЕТРИЯ НАСЕЛЕНИЯ ЮЖНОГО УРАЛА

месяц) для определения объемной активности ИРГ пробы газа из пробоотборной системы отбирались в кювету и затем анализировались в лабораторных условиях с использованием сцинтилляционного (1960-е гг.) или полупроводникового (1970–1980-е гг.) гамма-спектрометра. До 1968–1970 гг. гамма-спектрометрические измерения выполнялись эпизодически, а в более поздний период – регулярно.

### 5. МЕТОДИКА РЕКОНСТРУКЦИИ ВЫБРОСОВ $^{41}\text{Ar}$

Выброс  $^{41}\text{Ar}$  через трубу ПУГР –  $W_{\Sigma}$  за промежуток времени  $\tau$  (час) рассчитывается по формулам (см. уравнение (3)):

$$W_{\Sigma} = W_G + W_W, \quad W_G = \lambda \cdot \bar{\Phi} \cdot \Sigma_a M_G K_0 K_1,$$

$$W_W = \lambda \cdot \bar{\Phi} \cdot \Sigma_a M_W K_G K_0 K_2, \quad (4)$$

где  $W_G$  и  $W_W$  – мощность выброса  $^{41}\text{Ar}$ , обусловленная поступлением стабильного  $^{40}\text{Ar}$  в активную зону реактора с продуваемым газом (воздух/азот) и с охлаждающей водой, соответственно,  $\text{Бк}/\text{час}$ ;

$\lambda = 0,379$  – постоянная распада  $^{41}\text{Ar}$ ,  $\text{ч}^{-1}$ ;

$M_G$  и  $M_W$  – масса аргона, поступающая за время  $\tau$  в активную зону ПУГР с газовой продувкой и с охлаждающей водой,  $\text{г}$ ;

$K_0$  – расчетный коэффициент, численно равный отношению плотности потока тепловых нейтронов в зазоре между графитовым кирпичом и оболочкой уранового блока к средней плотности потока тепловых нейтронов в урановом блоке ( $\bar{\Phi}$ ). Для практических расчетов можно принимать  $K_0 \approx 1,1$ ;

$K_G$  – коэффициент, учитывающий выход  $^{41}\text{Ar}$  из воды при ее нагревании в газовую fazu подреакторного пространства;

$K_1$  и  $K_2$  – коэффициенты, учитывающие распад  $^{41}\text{Ar}$  за время пребывания в газогольдере для системы вентиляции графитовой кладки и для системы вентиляции подреакторного пространства, соответственно.

Значения  $K_1$  и  $K_2$  определяются по формуле:

$$K_{1,2} = e^{\pm i Q},$$

где  $V$  – объем газогольдера,  $\text{м}^3$ ;

$Q$  – расход газа через газогольдер,  $\text{м}^3/\text{ч}$ .

Среднюю плотность потока тепловых нейтронов в уране ПУГР можно рассчитать из выражения:

$$\bar{\Phi} = \Phi_0 \cdot \frac{E}{E_0}, \quad (5)$$

где  $\Phi_0 = 3,5 \cdot 10^{12}$  нейtron/( $\text{см}^2 \cdot \text{с}$ ) соответствует удельной мощности ПУГР равной  $E_0 = 1 \text{ Вт}/\text{г}$ ;

$E$  – удельная мощность реактора за рассматриваемый период времени  $\tau$ ,  $\text{Вт}/\text{г}$ .

При эксплуатации ПУГР в режиме продувки графитовой кладки атмосферным воздухом поступление аргона  $M_G$  за время  $\tau$  рассчитывается по формулам:

$$M_G = Q \cdot \tau \cdot \rho \cdot \frac{P T_0}{P_0 T}, \quad \rho = \rho_0 \frac{P T_0}{P_0 T}, \quad (6)$$

где  $Q$  – объемный расход воздуха через графитовую кладку ПУГР,  $\text{м}^3/\text{ч}$ ;

$\rho_0 = 1,293$  – плотность воздуха при нормальном атмосферном давлении ( $P_0 = 760 \text{ мм рт.ст.}$ ) и температуре ( $T_0 = 273 \text{ }^{\circ}\text{К}$  ( $0 \text{ }^{\circ}\text{C}$ )),  $\text{кг}/\text{м}^3$ ;

$\rho$  – плотность воздуха при температуре  $T$ ,  $^{\circ}\text{К}$  и атмосферном давлении  $P$ ,  $\text{кг}/\text{м}^3$ ;

$\gamma_0 = 0,01286$  – относительное содержание (доли по массе) аргона в воздухе [7].

При эксплуатации ПУГР в режиме продувки кладки азотом расчет  $M_G$  проводится по формуле:

$$M_G = Q \cdot \tau \cdot \gamma, \quad (7)$$

где  $\gamma$  – массовое содержание аргона в азоте, которое определяется режимом эксплуатации азотной станции (экспериментальные данные),  $\text{кг}/\text{м}^3$ .

Поступление аргона в активную зону ПУГР с водой, охлаждающей урановые блоки, рассчитывается по формуле:

$$M_W = q \cdot \tau \cdot \delta_1, \quad (8)$$

а значение безразмерного коэффициента  $K_G$ , учитывающего долю аргона переходящего в газовую fazu из воды, можно оценить:

$$K_G = \frac{\delta_1 - \delta_2}{\delta_1},$$

где  $q$  – объемный расход воды, охлаждающей урановые блоки ПУГР,  $\text{м}^3/\text{ч}$ ;

## ДОЗИМЕТРИЯ НАСЕЛЕНИЯ ЮЖНОГО УРАЛА

$\delta_1$  и  $\delta_2$  – содержание аргона в воде, поступающей на вход ПУГР (при температуре  $t_1$ , °C), и в воде на выходе из активной зоны ПУГР ( $t_2$ , °C), соответственно, г/м<sup>3</sup>.

Расчетная методика определения содержания аргона, криптона и ксенона в воде в зависимости от растворимости этих газов [7, 9], температуры и давления атмосферного воздуха приведена в работе [5].

### 6. МЕТОДИКА ОЦЕНКИ ВЫБРОСОВ ИРГ ОСКОЛОЧНОГО ПРОИСХОДЖЕНИЯ

Как уже отмечалось выше, мощность выбросов ИРГ осколочного происхождения определяется содержанием урана в охлаждающей воде и в графитовой кладке.

Равновесное содержание ИРГ в уране ПУГР приведено в табл. 5 [8].

При попадании в графитовую кладку ПУГР урана массой  $m_U$  (при аварийных ситуациях, связанных с образованием "козлов") мощность выброса  $r$ -го ИРГ в атмосфере –  $w_r$  может быть определена по формуле:

$$w_r = \lambda_r A_{0,r} E m_U K_r \quad (9)$$

Таблица 5

Удельная равновесная активность ИРГ – продуктов деления –  $A_{0,r}$

Радионуклид	Период полураспада	Равновесная активность, Кн/кВт
<sup>83m</sup> Kr	1,83 ч	4,44
<sup>85m</sup> Kr	4,48 ч	8,33
<sup>87</sup> Kr	1,27 ч	22,1
<sup>88</sup> Kr	2,86 ч	29,4
<sup>89</sup> Kr	3,2 мин	39,1
<sup>131m</sup> Xe	11,98 сут	0,155
<sup>133m</sup> Xe	2,19 сут	1,51
<sup>133</sup> Xe	5,245 сут	63,0
<sup>135m</sup> Xe	15,6 мин	15,6
<sup>135</sup> Xe	9,08 ч	55,0
<sup>138</sup> Xe	14,2 мин	53,8

где  $\lambda_r$  – постоянная распада  $r$ -го радионуклида, ч<sup>-1</sup>;

$A_{0,r}$  – удельная равновесная активность  $r$ -го ИРГ (см. табл. 5), Кн/кВт;

$E$  – удельная мощность реактора, кВт/кг.

Уравнение (9) написано в предположении, что выход ИРГ из урана в газовую фазу (продукту) составляет 100 %. Поэтому, результаты расчетов по уравнению (9) следует рассматривать в качестве консервативной (максимальной) оценки действительного значения. Очевидно, что основной неопределенность результатов расчета по формуле (9) является неопределенность оценки массы урана –  $m_U$ , попавшей в кладку при ликвидации аварийных ситуаций (расчистке "козловых" ячеек) в первые годы эксплуатации ПУГР (1950–1960 гг.). Опыт ликвидации (расчистки) "козловых" ячеек в 1970-х гг., когда уже существовал достоверный контроль выбросов ИРГ в атмосферу, показывает, что продолжительность повышенного выброса (после расчистки аварийной ячейки) составляет 3–4 мес. В более поздний период времени мощность выбросов ИРГ резко снижается вследствие "ходьбы" кусочков урана из центра графитовой кладки в область нижнего отражателя (на опорную металлическую плиту).

В воде, поступавшей на охлаждение ПУГР, содержалось некоторое количество урана. За время нахождения воды в активной зоне реактора (несколько секунд) часть ядер урана (<sup>238</sup>U) подвергалась делению с образованием осколочных ИРГ. В табл. 6 приведены значения активности продуктов мгновенного деления ядер <sup>238</sup>U тепловыми нейтронами в зависимости от времени, прошедшего после деления (выхода воды из активной зоны реактора) [8]. Приведенные в табл. 6 данные соответствуют общему числу делений равному  $1,45 \cdot 10^{23}$  делений (или энергии, образующейся при делении 60 г урана).

Как уже указывалось, время нахождения воды в активной зоне реактора значительно меньше периода полураспада основных рассматриваемых ИРГ, поэтому выброс инертных газов за время  $t$  в атмосферу можно оценить по формуле:

$$w_r(t) = \bar{\varphi} \cdot \sum_r M a_r(t) K_r t / 1,45 \cdot 10^{23}, \quad (10)$$

## ДОЗИМЕТРИЯ НАСЕЛЕНИЯ ЮЖНОГО УРАЛА

Таблица 6

Активность продуктов мгновенного деления  $^{235}\text{U}$  тепловыми нейтронами  $a(t)$  [8]

в Ки на  $1,45 \cdot 10^{23}$  делений

Радионуклид	Время после деления				
	0	10 с	30 с	3 мин	30 мин
$^{83m}\text{Kr}$	$3,35 \cdot 10^2$	$4,15 \cdot 10^2$	$8,42 \cdot 10^2$	$1,07 \cdot 10^4$	$1,84 \cdot 10^5$
$^{85m}\text{Kr}$	$1,95 \cdot 10^3$	$1,79 \cdot 10^4$	$6,99 \cdot 10^4$	$6,72 \cdot 10^5$	$1,59 \cdot 10^6$
$^{87}\text{Kr}$	$8,93 \cdot 10^5$	$2,18 \cdot 10^6$	$4,72 \cdot 10^6$	$1,37 \cdot 10^7$	$1,20 \cdot 10^7$
$^{88}\text{Kr}$	$1,26 \cdot 10^6$	$4,36 \cdot 10^6$	$7,34 \cdot 10^6$	$9,34 \cdot 10^6$	$8,36 \cdot 10^6$
$^{89}\text{Kr}$	$2,68 \cdot 10^8$	$5,69 \cdot 10^8$	$5,96 \cdot 10^8$	$3,49 \cdot 10^9$	$1,00 \cdot 10^9$
$^{131m}\text{Xe}$	0,434	0,434	0,434	0,434	0,492
$^{133m}\text{Xe}$	13,9	13,9	14,1	15,9	122
$^{133}\text{Xe}$	3,63	4,62	6,94	38,5	$1,90 \cdot 10^3$
$^{135m}\text{Xe}$	$4,58 \cdot 10^6$	$4,58 \cdot 10^6$	$4,50 \cdot 10^6$	$4,17 \cdot 10^6$	$2,54 \cdot 10^6$
$^{135}\text{Xe}$	$7,49 \cdot 10^4$	$7,63 \cdot 10^4$	$7,93 \cdot 10^4$	$1,03 \cdot 10^5$	$3,71 \cdot 10^5$
$^{136}\text{Xe}$	$7,58 \cdot 10^7$	$1,39 \cdot 10^8$	$1,64 \cdot 10^8$	$1,51 \cdot 10^9$	$5,05 \cdot 10^7$

где  $\Sigma_f = 0,0105$  – макроскопическое сечение деления ядер  $^{235}\text{U}$  для естественного урана,  $\text{см}^2/\text{г}$ .

$a_f(t)$  – активность продуктов мгновенного деления  $^{235}\text{U}$  тепловыми нейтронами на момент времени  $t$  после деления (см. табл. 6),  $\text{Ки}/1,45 \cdot 10^{23}$  делений;

$M$  – масса естественного урана, поступившая за время  $t$  в активную зону ПУГР с охлаждающей водой, г.

При проведении расчетов предполагали, что среднее время нахождения воды в сливном бункере реактора составляет  $t \approx 3$  мин.

Следует отметить, что уравнение (10) позволяет получить только консервативную (максимальную) оценку действительного значения выброса, так как при написании этого уравнения предполагалось, что выход ИРГ (образовавшихся при делении растворенного в охлаждающей воде урана) в выбросную трубу реактора равен 100 %. В действительности значительная часть растворимых в воде ИРГ (включая  $^{41}\text{Ar}$ ) поступала в атмосферу через киоски-шахты метро и непосредственно в точке сброса “горячей” воды в оз. Кызылташи.

### 7. АНАЛИЗ РЕЗУЛЬТАТОВ РЕКОНСТРУКЦИИ ВЫБРОСОВ ИРГ

Основные результаты реконструкции выбросов ИРГ в атмосферу приведены в табл. 7 и 8 [6].

Непрерывный штатный контроль всех ИРГ, выбрасываемых из труб ПУГР в атмосферу, был организован на ПО “Маяк” в конце 1960-х гг. Результаты контроля в виде помесячных и годовых данных по каждому ИРГ приведены в работе [5]. Для примера, в табл. 9 и на рис. 4 приведены результаты сравнения реконструированных выбросов ИРГ с экспериментальными данными для реактора “АВ-1”.

Анализ представленных в табл. 9 и на рис. 4 данных показывает, что результаты реконструкции выбросов, в целом, удовлетворительно соответствуют экспериментальным данным.

### ВЫВОДЫ

1. Проанализированы следующие факторы, определяющие выбросы ИРГ из труб реакторного производства:

- конструкционные особенности ПУГР;

## ДОЗИМЕТРИЯ НАСЕЛЕНИЯ ЮЖНОГО УРАЛА

Таблица 7

Результаты реконструкции выбросов  $^{41}\text{Ar}$  из труб ПУГР за весь период их эксплуатации [6]  
в Кн/год

Год	Реактор					Всего
	"A"	"AB-1"	"AB-2"	"AB-3"	"AI"	
1948	7,17E+06*	—	—	—	—	7,17E+06
1949	3,15E+07	—	—	—	—	3,15E+07
1950	4,12E+07	5,06E+07	—	—	—	9,18E+07
1951	4,59E+07	9,98E+07	5,74E+07	—	—	2,03E+08
1952	4,93E+07	1,04E+08	1,04E+08	1,48E+07	4,02E+06	2,76E+08
1953	5,40E+07	1,33E+08	1,33E+08	1,40E+08	5,43E+06	4,65E+08
1954	6,05E+07	1,35E+08	1,36E+08	6,99E+07	3,21E+06	4,05E+08
1955	1,09E+07	1,41E+08	1,41E+08	8,56E+06	4,58E+05	3,02E+08
1956	1,07E+07	1,36E+08	1,33E+08	9,64E+06	4,02E+05	2,90E+08
1957	1,12E+07	6,34E+06	8,08E+06	1,14E+07	3,81E+05	3,74E+07
1958	8,85E+06	5,27E+06	7,50E+06	9,46E+06	3,22E+05	3,14E+07
1959	9,42E+06	5,39E+06	6,40E+06	9,69E+06	2,84E+05	3,12E+07
1960	4,95E+06	2,45E+06	2,70E+06	4,39E+06	2,31E+05	1,47E+07
1961	3,15E+06	2,40E+06	2,49E+06	4,29E+06	2,08E+05	1,25E+07
1962	3,84E+06	2,24E+06	2,37E+06	3,35E+06	1,44E+05	1,19E+07
1963	3,27E+06	1,97E+06	2,05E+06	1,89E+05	1,25E+05	7,60E+06
1964	2,86E+06	1,92E+06	2,02E+06	1,90E+05	1,21E+05	7,11E+06
1965	2,46E+06	1,63E+06	1,71E+06	1,68E+05	1,15E+05	6,08E+06
1966	1,65E+06	3,51E+05	1,17E+06	1,33E+05	1,10E+05	3,41E+06
1967	1,25E+06	1,13E+06	3,59E+05	1,33E+05	1,05E+05	2,98E+06
1968	6,84E+05	4,84E+05	5,19E+05	1,15E+05	8,92E+04	1,89E+06
1969	6,03E+05	2,59E+05	2,71E+05	8,47E+04	9,81E+04	1,32E+06
1970	6,43E+05	3,77E+05	3,86E+05	5,66E+05	1,20E+05	2,09E+06
1971	8,21E+04	2,03E+05	2,03E+05	3,25E+05	1,00E+05	9,13E+05
1972	4,67E+04	2,40E+05	2,40E+05	2,58E+05	9,21E+04	8,77E+05
1973	5,20E+04	2,79E+05	2,79E+05	2,61E+05	8,40E+04	9,55E+05
1974	4,67E+04	1,95E+05	1,95E+05	1,83E+05	9,02E+04	7,10E+05
1975	4,67E+04	1,79E+05	1,79E+05	2,87E+05	8,61E+04	7,78E+05
1976	2,04E+04	1,65E+05	1,65E+05	2,72E+05	1,12E+05	7,34E+05

ДОЗИМЕТРИЯ НАСЕЛЕНИЯ ЮЖНОГО УРАЛА

Продолжение таблицы 7  
в Кн/год

Год	Реактор					Всего
	"А"	"АВ-1"	"АВ-2"	"АВ-3"	"АИ"	
1977	4,14E+03	1,65E+05	1,65E+05	2,72E+05	4,32E+04	6,49E+05
1978	4,14E+03	1,75E+05	1,75E+05	4,03E+05	3,52E+04	7,92E+05
1979	3,97E+03	1,54E+05	1,54E+05	2,49E+05	3,01E+04	5,91E+05
1980	3,97E+03	1,39E+05	1,39E+05	2,74E+05	3,20E+04	5,88E+05
1981	3,97E+03	1,17E+05	1,17E+05	1,80E+05	3,50E+04	4,53E+05
1982	4,50E+03	1,09E+05	1,09E+05	1,62E+05	1,54E+04	4,00E+05
1983	4,14E+03	9,54E+04	9,54E+04	1,62E+05	9,15E+03	3,66E+05
1984	4,67E+03	7,61E+04	7,61E+04	1,35E+05	1,28E+04	3,05E+05
1985	4,32E+03	8,16E+04	8,16E+04	1,30E+05	8,24E+04	3,80E+05
1986	3,97E+03	9,54E+04	9,54E+04	1,51E+05	5,02E+04	3,96E+05
1987	1,93E+03	9,54E+04	9,54E+04	1,46E+05	8,23E+03	3,47E+05
1988	—	1,04E+05	1,04E+05	9,08E+04	—	2,99E+05
1989	—	9,26E+04	2,78E+03	2,08E+04	—	1,16E+05
1990	—	—	4,63E+04	1,82E+04	—	6,45E+04
Всего	3,67E+08	8,39E+08	7,43E+08	2,91E+08	1,69E+07	2,25E+09

Примечание. \* Здесь и далее запись вида "7,17E+06" означает - 7,17·10<sup>6</sup>.

Таблица 8

Результаты реконструкции выбросов ИРГ осколочного происхождения из труб ПУГР за весь период их эксплуатации

ИРГ	Реактор					Всего
	"А"	"АВ-1"	"АВ-2"	"АВ-3"	"АИ"	
<sup>83m</sup> Kr	1,98E+06	1,33E+06	1,32E+06	2,21E+06	1,01E+06	7,85E+06
<sup>85m</sup> Kr	1,61E+06	1,12E+06	1,11E+06	2,63E+06	1,20E+06	7,67E+06
<sup>87</sup> Kr	1,40E+07	9,10E+06	9,05E+06	1,31E+07	8,05E+06	5,33E+07
<sup>88</sup> Kr	8,71E+06	6,01E+06	5,96E+06	1,19E+07	4,89E+06	3,75E+07
<sup>89</sup> Kr	6,01E+08	3,39E+08	3,47E+08	3,34E+08	1,21E+08	1,74E+09
<sup>133m</sup> Xe	2,65E+04	1,87E+04	1,86E+04	6,55E+04	1,52E+04	1,45E+05
<sup>133</sup> Xe	4,63E+05	3,27E+05	3,26E+05	1,18E+06	2,97E+05	2,59E+06
<sup>133m</sup> Xe	4,70E+07	2,66E+07	2,72E+07	2,67E+07	2,10E+07	1,49E+08
<sup>135</sup> Xe	5,39E+06	3,80E+06	3,78E+06	1,09E+07	2,95E+06	2,68E+07
<sup>137</sup> Xe	1,80E+08	1,01E+08	1,04E+08	1,02E+08	8,50E+07	5,72E+08
Всего	8,60E+08	4,88E+08	5,00E+08	5,05E+08	2,45E+08	2,60E+09

ДОЗИМЕТРИЯ НАСЕЛЕНИЯ ЮЖНОГО УРАЛА

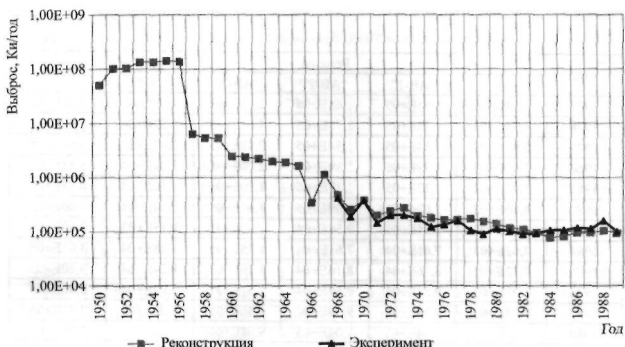


Рис. 4. Реконструированные выбросы  $^{41}\text{Ar}$  из трубы реактора "АВ-1" за период 1950–1989 гг. в сравнении с имеющимися экспериментальными данными

Таблица 9

Сравнение реконструированных и экспериментальных данных о суммарных выбросах ИРГ из труб реактора "АВ-1" за период непрерывного цитатного контроля (1968–1989 гг.)

ИРГ	Суммарный выброс (1968–1989 гг.), Ки	
	измерено	реконструировано
$^{41}\text{Ar}$	$3,41 \cdot 10^8$	$3,90 \cdot 10^8$
$^{85m}\text{Kr}$	$1,99 \cdot 10^8$	$2,68 \cdot 10^8$
$^{87}\text{Kr}$	$1,95 \cdot 10^8$	$1,31 \cdot 10^8$
$^{88}\text{Kr}$	$3,03 \cdot 10^8$	$1,29 \cdot 10^8$
$^{131}\text{Xe}$	$2,69 \cdot 10^8$	$9,24 \cdot 10^8$
$^{135m}\text{Xe}$	$2,04 \cdot 10^8$	$1,30 \cdot 10^8$
$^{135}\text{Xe}$	$9,28 \cdot 10^8$	$9,92 \cdot 10^8$
$^{138}\text{Xe}$	$1,19 \cdot 10^8$	$5,64 \cdot 10^8$

- режим газовой продувки кладки и основных металлоконструкций ПУТР;
- сроки внедрения и режим эксплуатации газоочистного оборудования ПУТР;
- методы и результаты экспериментального контроля мощности выбросов ИРГ.

2. Предложена и обоснована расчетная методика оценки мощности различных источников образования ИРГ активационного ( $^{41}\text{Ar}$ ) и осколочного (радиоизотопы криптона и ксенона) происхождения в ПУТР.

3. Расчетные данные по реконструкции выбросов ИРГ, в целом, удовлетворительно совпадают с соответствующими экспериментальными результатами.

4. Суммарный выброс  $^{41}\text{Ar}$  из труб всех уран-графитовых реакторов за весь период эксплуатации реакторного производства ПО "Маяк" оценивается значением  $-2,2 \cdot 10^9$  Ки ( $8,3 \cdot 10^{18}$  Бк). Результаты реконструкции показывают, что основная часть выбросов  $^{41}\text{Ar}$  (более

80 %) произошла в период до 1956 г. (в период продувки кладки реакторов атмосферным воздухом), когда экспериментальные измерения мощности выбросов не проводились.

5. Суммарный выброс всех ИРГ осколочного происхождения за весь период эксплуатации реакторного производства оценивается значением  $-2,6 \cdot 10^9$  Ки ( $9,6 \cdot 10^{10}$  Бк). Основная часть выбросов была обусловлена  $^{90}\text{Kr}$  (период полураспада 3,17 мин) –  $1,7 \cdot 10^9$  Ки ( $6,3 \cdot 10^{10}$  Бк),  $^{138}\text{Xe}$  (14,17 мин) –  $5,7 \cdot 10^8$  Ки ( $2,1 \cdot 10^{10}$  Бк) и  $^{89}\text{Kr}$  (1,272 ч) –  $5,3 \cdot 10^7$  Ки ( $2,0 \cdot 10^8$  Бк). Выбросы указанных радионуклидов были обусловлены, в основном, аварийными ситуациями, связанными с попаданием урана в графитовую кладку реакторов ("козлами") в первые годы эксплуатации реакторного производства.

6. Результаты реконструкции выбросов ИРГ будут использованы для оценки доз внешнего облучения населения, проживающего в районе расположения ПО "Маяк".

#### *Работа выполнена в рамках проекта 1.4 JCCRER.*

#### ЛИТЕРАТУРА

1. Расчет эквивалентных доз облучения щитовидной железы, обусловленных выбросами в атмосферу  $^{131}\text{I}$ : Временная отраслевая методика // Регистр № 2.6.1.004–99; Дрожко Е.Г., Мокров Ю.Г., Романов Г.Н., Хохряков В.В. – Озерск, 1999.
2. Суслова К.Г., Хохряков В.Ф., Дрожко Е.Г. и др.

Эффективная доза облучения жителей г. Челябинска-65: В сб. Хроническое радиационное воздействие: риск отдаленных эффектов / I Международный симпозиум. Январь 9–13, Челябинск, 1995. – С. 11–12.

3. Бурдаев Н.С. Некоторые страницы из истории развития технологии промышленных уран-графитовых реакторов. – Озерск, 1996. – 138 с.

4. Круглов А.К. Как создавалась атомная промышленность в СССР. – 2-е изд., испр. – М.: ЦНИИАтоминформ, 1995. – 380 с.

5. Реконструкция мощности выбросов в атмосферу инертных радиоактивных газов и оценка накопления  $^{131}\text{I}$  в облученном уране реакторного производства ПО "Маяк" за период 1948–65 гг. Ч. I. Разработка и обоснование методики расчета: Отчет № 5 по проекту 1.4 JCCRER / ФГУП "ПО "Маяк"; Мокров Ю.Г. – Озерск, 2006.

6. Реконструкция мощности выбросов в атмосферу инертных радиоактивных газов и оценка накопления  $^{131}\text{I}$  в облученном уране реакторного производства ПО "Маяк" за период 1948–1965 гг. Часть II. Результаты расчетов: Отчет № 6 по проекту 1.4 JCCRER / ФГУП "ПО "Маяк"; Мокров Ю.Г. – Озерск, 2006.

7. Краткий справочник химика / Под ред. Перельмана В.Й. – М.: Химия, 1964. – 624 с.

8. Радиационные характеристики продуктов деления: Справочник // Гусев Н.Г., Рубцов П.М., Коваленко В.В., Колобашкин В.М. – М.: Атомиздат, 1974. – 224 с.

9. Фастовский В.Г., Ровинский А.Е., Петровский Ю.В. Инертные газы. – М.: Атомиздат, 1964. – 304 с.